

내진에 대한 Plant Control Panel 의 구조적 건전성 평가

Evaluation of Structural Integrity of A Plant Control Panel under Seismic

이흥식* · 김명구** · 조종두***

Heungshik Lee, Myung-Gu Kim and Chongdu Cho

Key Words : Seismic(내진), Finite Element Model(유한요소모델), Natural Frequency(고유진동수), Required Response Spectra(요구 응답 스펙트럼), Mode Combination(모드 조합법)

ABSTRACT

This paper presents a plant control panel model for the analysis. Seismic qualification analysis for the plant control panel is carried out to confirm the structural integrity under the seismic conditions represented by required response spectra(RRS). For the analysis finite element method(FEM) is used. And mode combinations are adopted to obtain the reliability of the spectrum analysis. The analysis results shows that the plant control panel system is designed as a dynamically rigid assembly, without any resonance frequency below 33Hz. The calculated stress of the plant control panel system is much less than yield stress of used steel.

1. 서 론

원자력 산업에 지진이 미치는 영향은 매우 크다. 원자력 시설의 안전성 확보를 위해서는 자연재해에 의한 피해를 방지하고 최소화하기 위한 노력이 필요하며 이를 위해서는 발생 가능한 자연재해 중 광범위한 지역에 대해 심각한 피해를 야기 시킬 수 있는 지진에 대해 철저한 대비를 하지 않을 수 없다.

기계류 및 전기류를 포함한 산업용 구조물은 해당 구조물이 설치될 지역에서 발생 가능한 지진에 대하여 지진 발생 중 또는 발생 후에 장비가 제 기능을 유지하는지 검증할 필요가 있다^[1]. 이를 내진검증이라 하는데 크게 시험적인 방법과 해석적인 방법으로 구분되며 두 가지 방법을 병행하기도 한다.

시험적인 방법은 대상 기기를 진동대에 설치하고 실제 지진을 모사하여 기기의 안전성을 검증하는 방법으로 가장 정확한 방법이다. 이에 비해 해석적인 방법은 해석 모델의 구성과 지진 하중의 산정 등 그 과정에 상당한 가정과 생략이 포함되나 초기 설계단계에서 평가 결과를 얻을 수 있으므로

설계에 그 결과를 재 반영 할 수 있는 장점이 있다. 해석적 방법에서는 앞에서 언급한 가정과 생략을 보상하기 위해 보수적인 해석(conservative analysis) 또는 평가를 하는 것이 일반적이다.

해석적 내진검증에는 대상 기기의 동적 특성, 지진하중 등에 따라 정적 해석법 혹은 동적 해석법을 적용할 수 있으며 정적 해석법에는 등가 정적해석(static coefficient analysis)이 포함되고, 동적 해석법에는 응답스펙트럼해석(response spectrum analysis), 시간이력해석(time history analysis) 등이 포함된다. 본 연구에서는 plant control panel 에 대하여 원자력발전소 설치용 장비에 적용되는 요구 응답 스펙트럼(required response spectrum : RRS)을 적용하여 다양한 조건과 해석방법으로 내진해석을 수행하였고, 또한 panel의 고유진동수와 발생하는 진동 level 을 실험적으로 측정하여 내진에 의한 시스템의 구조적 건전성(Structural Integrity)을 평가 하였다.

2. 내진해석

2.1 모델링 및 경계조건

구조적 안정성 평가를 위한 plant control panel의 유한요소모델을 상용 유한요소해석프로그램인 ANSYS을 사용하여 구성하였다. 이 시스템은 계측에 사용되는 모니터링 기기와 제어에 사용되는 스위치와 버튼(button)등의 작은 계측기기

* 인하대학교 기계공학과 대학원
E-mail : js-heung@hanmail.net
Tel : (032) 860-7321, Fax : (032) 868-1716

** 인하대학교 기계공학과 대학원

*** 인하대학교 기계공학과

들로 구성되어있다. 모니터부와 키보드 부분을 제외한 기타 부분은 질량이 매우 작아 내진에 의한 영향이 미소한 것으로 판단되어 모델링에서 간략화 되었다. 주요 외판 부재는 shell 요소로, 내부의 보강재는 등가 빔 요소로 모델링 하였다. Fig.1 의 (a)는 modeling 형상이며, (b)는 계측기기의 분포를 보여 준다.

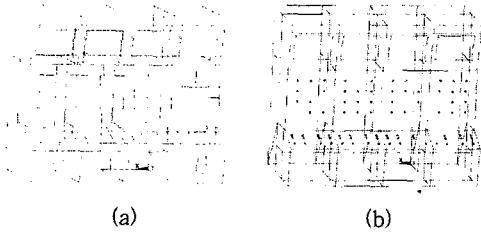


Fig.1 Modeling of a Plant Control Panel

모니터와 키보드의 고정용 볼트는 따로 모델링하지 않고 단순 지지 경계조건으로 구현하였으며 이 시스템의 아래, 좌, 우측 부분이 구속됨을 이용하여 모델링 하였다. plant control panel의 구조 강성에 영향을 미치지 않는 일부 부품 및 응력 평가 대상이 아닌 부품들은 고정되는 위치의 절점에 집중질량으로 모델링 하였다.

2.2 모드 해석

해석 대상 구조물의 경계조건에 따른 동적특성(가요성인지 강성구조인지의 여부)을 판단하기 위해 스펙트럼해석에 앞서 모드해석을 수행하였다.

모드 해석에서는 고유진동수와 모드형상, 참여계수를 나타내며, 해석결과 최저고유진동수는 68.487Hz로 요구 응답 스펙트럼(RRS)의 차단진동수(Cutoff Frequency : 33Hz) 보다 큰 진동수에서 고유진동수 값이 있으므로 강성기기의 해석 절차를 따라야 함을 알 수 있다. Fig. 2 에 1차 모드 형상과 1차 모드에서 발생하는 응력분포를 나타내었다. 그림에서 보이는 바와 같이 1차 진동모드는 주변 panel 중앙부분에 있는 plate에서 발생하였으며, 좌우 방향(x-방향) 휨과 panel 내부의 frame 및 측면 plate에서 다양하게 나타나고 있음을 볼 수 있으며 고유진동수가 비교적 높게 나타나 견고한 구조물로 예측할 수 있다.

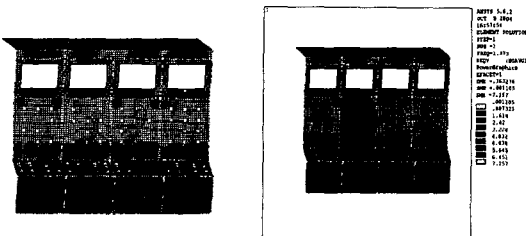


Fig.2 Mode(Left) and Stress(Right) analyses

2.3 스펙트럼 해석

(1)스펙트럼 해석 개요

스펙트럼 해석은 control panel이 설치되는 위치의 층 응답 스펙트럼(FRS) 및 요구 응답 스펙트럼(RRS)값을 모두 포함할 수 있도록 가진 방향별로 작성한 스펙트럼 값으로 하여 하중조건으로 입력하였으며 2%의 OBE (Operating Basis Earthquake)감쇠곡선, 3%의SSE (Safe Shutdown Earthquake)감쇠곡선을 적용하여 해석하였다. (Fig. 3 참조)

본 연구에서는 대상 기기의 1차고유진동수가 33Hz 이상 이므로 정적 해석을 수행 하였으며 panel에 부착된 장치들에 한정하여 수행하였으므로 요구 응답 스펙트럼(RRS)에 2.5배를 적용하여 최종 입력 스펙트럼 값을 결정하였다.

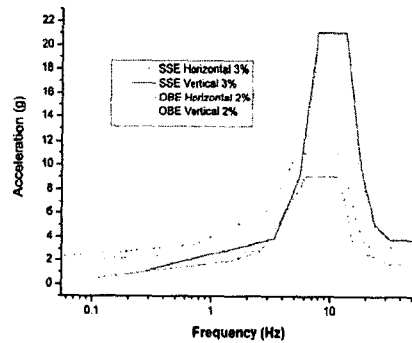


Fig.3 Required Response Spectrum

(2)요구응답 스펙트럼

응답 스펙트럼 해석법은 주어진 RRS에서 해석하고자 하는 진동수에 해당하는 가속도를 입력으로 하여 구조물의 응답을 구하고 그 결과를 합산하여 대상 장비의안전성을 평가하는 방법이다 응답스펙트럼법은 다음과 같이 지반 또는 기저부의 가진에 대한 기기의 운동 방정식으로부터 각 절점의 변위를 구하게 된다^[2].

$$[M]\{\ddot{u}\} + [C]\{\dot{u}\} + [K]\{u\} = [M]\{1\} \ddot{u}_b \quad (1)$$

절대변위 u_i 는 다음과 같은 관계를 갖는다.

$$\{u_i\} = \{u\} + \{1\}u_b \quad (2)$$

식 (1)에 대해 고유치 해석을 수행하여 모드행렬 $[\phi]$ 를 구하게 되면 각 절점에서의 변위 u 와 모드응답 ξ 는 다음과 같은 관계를 갖는다.

$$\{u\} = [\phi]\{\xi\} \quad (3)$$

위 식을 식 (1)에 대입하고 모드행렬을 전치(transpose)하여 전송하면 모드벡터의 직교성에 따라 다음과 같이 모드응

답에 대한 비연성된 운동 방정식을 얻을 수 있다.

$$-\ddot{\xi}_n + 2\zeta\omega_n\dot{\xi}_n + \omega_n^2\xi_n = \gamma_n\ddot{u}_b \quad (4)$$

위 식에서 γ_n 는 참여계수(participation factor)로서 아래와 같이 정의되며 지반 가속도가 \ddot{u}_b 가 모드응답 ξ_n 에 미치는 영향계수로 이해할 수 있다.

$$\gamma_n = \frac{\{\phi\}_n^T [M] \{1\}}{\{\phi\}_n^T [M] \{\phi\}_n} \quad (5)$$

식 (4)에서 모드응답을 구해 식 (3)에 대입하면 최종적으로 다음과 같이 각 절점에서의 변위를 구하게 되고 이로부터 내부응력과 힘을 구할 수 있다.

$$\{u\} = \{\phi_n\} \gamma_n \frac{R_a}{\omega_n^2} \quad (6)$$

위 식에서 R_a 가 바로 응답 스펙트럼에서의 가속도를 의미한다.

(3)모드조합법

식 (6)에서 구해진 각 모드별 응답을 합산하는 방법에는 여러 가지가 있지만 기계 구조물에 있어서는 다음 식과 같이 SRSS(square root of sum of squares) 방법이 일반적으로 사용된다^[1].

$$\sigma_T = \sqrt{\sum_{i=1}^n \sigma_i^2} \quad (7)$$

(σ_i : i 번째 모드에 해당하는 응답)

스펙트럼해석에서의 모드 조합방법으로 SRSS 법외에 모드해석상의 모드별 주파수가 근접하게 존재할 경우에 대하여 몇 가지의 다른 모드 조합법을 사용하였다. 앞 절의 모드해석 결과, 몇몇 모드가 근접하게 존재하고 있으므로 본 해석 프로그램인 ANSYS에서 제공하는 모드 조합법인 SRSS(Square Root of Sum of Squares Mode Combination)외에 DSUM(Double Sum Mode Combination) 조합법, CQC(Complete Quadratic Mode Combination) 조합법, GROUP(Grouping Mode Combination) 조합법으로 해석하여 응력해석 결과를 비교하였다. 이와 같은 스펙트럼해석에서 두 수평방향과 수직방향의 가진에 대해 독립적으로 해석한 후, 각 방향으로 계산된 결과는 각 방향에서의 지진하중에 기인한 기기 상의 임의의 위치에서 결과를 얻기 위해 SRSS 방법으로 합산하였다.

이와 함께 운전하중의 일종으로 볼 수 있는 panel의 자중에 의한 응력분포를 고려하기 위해 중력가속도에 의한 정적해석을 수행하였으며, 이 값을 스펙트럼해석 결과에 더하였다.

2.3 실험적 해석

위에서 얻어낸 데이터의 신뢰성(Reliability)을 얻기 위하여 하여 Plant control panel의 고유진동수와 진동 level을 가속도계(Accelerometer : B&K), 충격망치(Impact hammer : B&K)를 이용하여 측정 하였다. 측정 위치는 control panel의 양쪽 부분과 중앙 부분이었으며, 각각 네 군데의 위치에서 측정하였다. 진동레벨 측정을 위해서는 panel의 최 하단 부분의 진동을 측정하였다. 실험에 의해서 얻어진 고유진동수 값이 시뮬레이션에 의한 값과의 차이가 발생하였는데, 이것은 유한요소 모델링의 실제 구조에서 보다 간략화 되어 표현되었기 때문으로 판단된다. 이것을 보완하기 위해 실험에서 얻은 데이터를 바탕으로 하여 유한요소 모델을 보다 더 구체적으로 모델링 하였다.

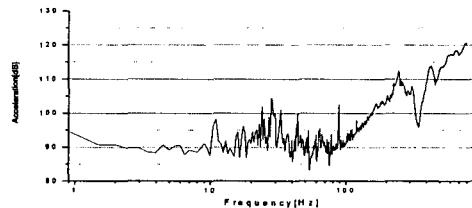


Fig.4 Frequency-Acceleration graph(Mode Analysis)

3. 결과 및 고찰

3장에서 정리한 모드 해석, 스펙트럼 해석법을 plant control panel에 대하여 각각 수행하고 von Mises 응력 응답을 평가하였다. 우선 각 부재들의 응력 평가 방법들을 제시하고 각 해석 방법에 따른 결과의 차이, 응력평가 부분에 따른 경향 등을 비교하였다. 모든 내진 해석은 X, Y, Z 각 방향 지진하중에 대한 응답을 SRSS합산하여 최종 응력 결과를 도출한다. 엄밀한 결과 평가를 위해서는 각 절점에서의

Table1. Natural Frequencies and Participation Factors

Mode	Freq.(Hz)	Rot x	Rot y	Rot z
1	68.487	-165.94	0.421e-1	118.53
2	106.174	40.367	-53.500	-16.806
3	244.099	0.611e-3	-29.620	-12.457
4	248.202	64.861	-21.639	4.565
5	353.080	-4.706	16.944	5.222
6	356.834	0.256e-2	-3.254	-33.114
7	402.344	0.242e-3	0.944	0.471
8	421.435	-52.430	0.035	30.295

Table 2. Results of Maximum Stresses

Seismic Spectrum	Mode Combination	Max (kg/mm^2)
OBE	SRSS	6.171
	GROUP	6.173
	CQC	6.173
	DSUM	6.176
SSE	SRSS	7.675
	GROUP	7.677
	CQC	7.678
	DSUM	7.680

응력 값을 각각 합산해 평가해야 하나 모든 절점에서 응력 값을 추출하여 계산하는 것은 시간이 많이 소요된다. 따라서 각 응력평가 범위에서 최대 값들을 대표 값으로 취하여 합산함으로써 평가 시간을 단축하되 보수성은 유지하였다.

각 해석방법에 따른 결과를 Table 2에 나타내었다. 결과치가 가장 큰 DSUM 조합법에 의한 von Mises의 등가응력 결과, SSE 조건의 최대 응력은 모니터와 키보드 주변의 plate에서 $7.680kg/mm^2$ 의 값으로 나타났으며, 이와 함께 내부 frame에서도 전반적으로 낮은 응력 분포를 보였다. 이러한 결과는 역시 panel이 안정적인 구조를 갖고 있기 때문에 기인한 것으로, 결과적으로 해석 결과치가 허용응력보다 낮게 나타나 plant control panel 은 안정적인 구조임을 알 수 있다.

5. 결론

본 논문에서는 모드해석과 스펙트럼 해석, 그리고 모드 조합의 대표적인 방법에 대해 간략한 소개를 하였으며 plant control panel에 대해 유한요소 해석 방법과 실험적 해석 방법을 적용해 보았다. 그 결과 구조적 건전성을 만족하게 하는 응력 허용치를 모두 만족하였다. 그리고 그 결과들의 비교, 평가를 통하여 다음과 같은 결론을 얻었다.

먼저 모델링 측면에서 경계조건의 종류 및 위치, 집중 질량의 분포에 따라 해석 결과에 상당한 차이가 발생하므로 실제에 가까운 모델링이 필요하다.

동적 해석을 간단하게 수행하기 위한 등가 정적해석법은 응답스펙트럼해석 결과와 유사한 결과를 주는 것으로 판단되며 다만 33Hz 안에 많은 수의 모드가 있을 경우 이에 대한 영향을 고려하여야 한다.

스펙트럼해석에서 두 수평방향과 수직방향의 가진에 대해 독립적으로 해석한 후, 각 방향별로 계산된 결과는 각 방향에서의 지진하중에 기인한 기기 상의 임의의 위치에서 결과를 얻기 위해 합산하였다. 해석과 측정에서 얻어진 데이터를

통해, 내진에 의한 plant control panel의 안정성은 확인이 되었으나, plant 내의 기계진동에 의한 안정성은 후 연구과제로 생각된다.

후 기

이 논문은 2004년도 두뇌한국21사업에 의하여 지원되었음.

참 고 문 헌

- (1) IEEE Std.,1987, "Recommended Practice for Seismic Qualification of Class 1E Equipment for Nuclear Power Generating Stations", 344.
- (2) R. W. Clough, J. Penzien, 1993, "Dynamics of structures", McGRAW-Hill.
- (3) IEEE Std., 1983, Qualifying Class 1E Equipment for Nuclear Power Generating Stations, 323-1983.
- (4) W. H. Kim, D. H. Oh and W. H. Joo, 2003, " A Study on the Seismic Qualification of Gas Insulated Switchgear Using Analytical Method", 10th ICSV Proceeding.
- (5) AISC(American Institute of Steel Construction), 1989, "Manual of steel Construction Allowable Stress Design-Ninth Edition".
- (6) AISC(American Institute of Steel Construction), 1989 , "Manual of steel Construction Allowable Stress Design-Ninth Edition".
- (7) RG 1.29,1978, Seismic Design Classification.
- (8) RG 1.29, 1978,Seismic Design Classification
- (9) ANSYS structural analysis guide